

УПРУГОЕ РАССЕЯНИЕ π^+ -МЕЗОНОВ НА ПРОТОНАХ НА УГОЛ 180° ПРИ ВЫСОКИХ ЭНЕРГИЯХ

А.С.Вовенко, Б.Н.Гуськов, И.Ф.Лихачев, А.Л.Любимов,
Ю.А.Матуленко, И.А.Савин, В.С.Ставинский

В Лаборатории высоких энергий Объединенного института ядерных исследований были измерены величины дифференциальных сечений упругого $\pi^+ - p$ - рассеяния в малом телесном угле около 180° при импульсах π^+ -мезонов в лабораторной системе 3,15; 4,10 и 4,85 Гэв/с. Результаты измерений при 3,15 Гэв/с были опубликованы ранее [1]. В данной работе приводятся результаты измерений при 4,10 и 4,85 Гэв/с и сопоставляются данные, полученные при всех трех энергиях.

Измерения при разных энергиях производились с помощью одной и той же установки. Описание установки дано в [1], откуда и заимствован рисунок.

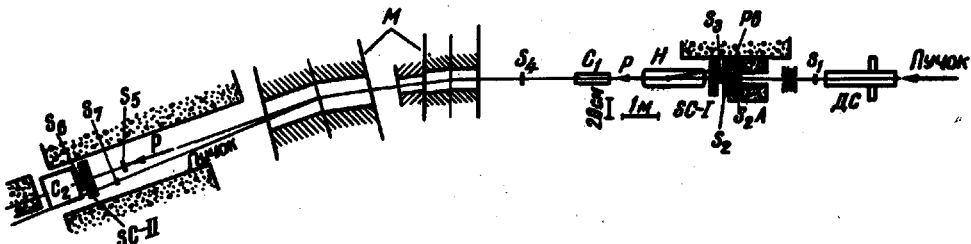


Схема установки для измерения упругого $\pi^+ p$ - рассеяния на угол около 180°. $S_4 - S_{10}$ - сцинтилляционные счетчики, DC - дифференциальный газовый черенковский счетчик, C_1, C_2 - пороговые газовые черенковские счетчики, H - водородная мишень, $SCI, SCII$ - искровые камеры, M - магнитный спектрометр

Отношение числа зарегистрированных установкой случаев упругого рассеяния π^+ -мезонов назад к общему числу полученных снимков с увеличением энергии уменьшалось (I: 4,4 при 3,15 Гэв/с; I: II при 4,10 Гэв/с и I: 40 при 4,85 Гэв/с). Это вызвано не только уменьшением величины измеряемого сечения, но и ухудшением фоновых условий вследствие меньшего пространственного разделения протонов отдачи от частиц пучка (см.рисунок). Поэтому потребовалось применение более строгих критериев для отбора случаев упругого рассеяния назад, чем в [4]. Эти же критерии были использованы для повторной обработки данных при 3,15 Гэв/с.

При просмотре пленки с искровой камеры *SCI* для дальнейшей обработки отбирались снимки, на которых помимо трека от падающей пучковой частицы присутствует трек, продолжение которого в сторону водородной мишени может пересекаться с продолжением пучкового трека. Через координаты этих треков проводились прямые и вычислялось расстояние минимального сближения этих прямых δ , координата этого места и угол ε , под которым видно это минимальное расстояние из камеры *SCI*. Распределение событий по величине ε оказалось гауссовым с полушириной $\sim 1,2 \cdot 10^{-2}$ рад, соответствующей ожидаемой для случаев π^+ -рассеяния назад (из-за кулоновского рассеяния в водороде рассеянного назад π^+ -мезона и погрешностей в измерении углов треков в камере *SCI*). Пересекающиеся считались пары треков с $\varepsilon < 3 \cdot 10^{-2}$ рад. Остальные отбрасывались. Исключались также случаи, когда пересечение треков находилось вне объема жидкого водорода. Для отобранных таким образом событий строились распределения по импульсам частиц, зарегистрированных в искровой камере *SCII*. В этих распределениях виден четкий пик, соответствующий импульсу протонов отдачи от упругого π -рассеяния назад (ширина этого пика определяется разбросом по энергии первичного пучка и разрешающей способностью магнитного спектрометра и составляла около 2% при 4,10 и 4,85 Гэв/с). События, попавшие в этот пик, считались случаями упругого рассеяния π^+ назад (правка на случайное попадание частицы в эту область камеры *SCII*).

с $\varepsilon < 3 \cdot 10^{-2}$ рад составляла 1,7% для 3,15 Гэв/с; 3,7% для 4,10 Гэв/с и 6,4% для 4,85 Гэв/с).

Эффективный телесный угол установки в с.ц.м., вычисленный методом Монте-Карло с учетом кулоновского рассеяния частиц, составлял $2,87 \cdot 10^{-3}$ стер для 4,10 Гэв/с и $3,04 \cdot 10^{-3}$ стер для 4,85 Гэв/с.

При вычислении эффективных сечений вводились поправки на ядерное взаимодействие первичного и рассеянного назад π^+ -мезонов и протона отдачи в водородной мишени и счетчиках, на примесь μ -мезонов в пучке, на распад рассеянного π -мезона, на эффективность сцинтилляционных счетчиков и электронных схем, на эффективность искровых камер.

В таблице приведены полученные величины дифференциальных сечений, включая данные при 3,15 Гэв/с, обработанные с использованием указанных выше критериев отбора. Ошибки, указанные в таблице, включают статистическую ошибку и неопределенность в поправках.

В этой же таблице для сравнения приведены данные для 4,0 Гэв/с, полученные с помощью жидкокристаллической камеры [2].

В предыдущей нашей работе [1] был сделан вывод о существовании значительного по величине и узкого пика в дифференциальном сечении упругого $\pi^+ p$ -рассеяния назад при 3,15 Гэв/с. Из данных, приведенных в таблице, видно, что имеется узкий пик вблизи 180° при 4,0 Гэв/с. Действительно, величина $(d\sigma/d\Omega)_{180^\circ}^{4,0}$ на порядок превосходит среднее сечение рассеяния в заднюю полусферу и почти в 4 раза больше сечения для интервала по $\cos \theta_{\text{с.ц.м.}}$ от -0,8 до -1,0 при 4,0 Гэв/с. Имеется пик в $\pi^+ p$ -рассеянии назад и при 4,85 Гэв/с: величина $(d\sigma/d\Omega)_{180^\circ}^{4,85}$ в несколько раз превосходит величину $(d\sigma/d\Omega)_{90+180^\circ}^{4,00}$, которая в свою очередь должна быть больше $(d\sigma/d\Omega)_{90+180^\circ}^{4,85}$.

Существование пика в упругом $\pi^+ p$ -рассеянии назад в достаточно широком интервале энергий выше 3 Гэв указывает на то, что этот пик не связан с проявлением какого-либо резонанса, а является характерным для процесса упругого рассеяния в области высоких энергий I).

Таблица по угловому расщеплению $\pi^+ \pi^-$ -mesонов на мюоники при 180°

$\theta_{\text{расщеп.}}$, град.	Интервал углов $\theta_{\text{расщеп.}}$, град.	Интервал $\cos \theta_{\text{расщеп.}}$	$(d\sigma/d\Omega)_{\text{расщеп.}}$, Меби Гэв/с	$(d\sigma/d\mu)_{\text{расщеп.}}$, Меби Гэв/с	Сумма [2]
3,15	177+180	-0,998+-1,000	0,109 + 0,104	99+12	244 ± 29 Данная работа
4,10	177+180	-0,998+-1,000	0,086 + 0,081	74+11	136 ± 20 Данная работа
4,85	177+180	-0,998+-1,000	0,074 + 0,068	39+12	56 ± 18 Данная работа
4,00	143+180	-0,800+-1,000	0,088 + 0,052	11+5	36 ± 9 [2]
	90+180	0+-1,000	0,088 + -3,252	6,4+1,3	$12 \pm 2,4$

Дифференциальное сечение рассеяния назад при 4,0 Гэв/с, полученное в работе [2] совместно с $(d\sigma/d\Omega)_{180^\circ}^{4,2}$ из данной работы хорошо описывается зависимостью вида

$$d\sigma/d\Omega = A \exp\left\{ -\rho_1/0,32 \right\},$$

где ρ_1 — перпендикулярный переданный импульс в Гэв/с.

Величина $(d\sigma/d\Omega)_{180^\circ}$ быстро убывает в измеренном нами интервале энергий. Однако, поскольку измерения при разных энергиях производились для разных значений квадрата переданного импульса ω , а сечение рассеяния около 180° зависит от ω , указанное убывание сечений происходит при одновременном изменении двух параметров: энергии и квадрата переданного импульса ω .

Авторы благодарят В. Бирулева, Т. Добровольского, А. Завгороднего, И. Какурина, В. Перевозчикова, Н. Чернышова за помощь в работе, В. Кочкина за составление программы и проведение расчетов, коллектив синхрофазотрона за обеспечение стабильной работы ускорителя и группу эксплуатации криогенного отдела за обеспечение жидким водородом.

Объединенный институт
ядерных исследований

Поступило в редакцию
15 сентября 1965 г.

Литература

- [1] J.A. Savin, A.S. Vovenko, B.N. Gus'kov, M.F. Likhachev, A.L. Lyubimov, Ju.A. Matulenko, V.S. Stavinsky. Phys. Lett., 17, 68, 1965.
- [2] Aschen-Berlin-Birmingham-Bonn-Hamburg-London-München Collaboration. Phys. Lett., 10, 248, 1964.

1) Измерения проводились при энергиях выше 3,0 Гэв, чтобы избежать возможного влияния рождения изobar на упругое рассеяние назад.